

УДК 539.201

ФИЗИЧЕСКАЯ ХИМИЯ

В. И. КАСАТОЧКИН, А. А. ХОМЕНКО, Ю. А. РОЛЬБИН, Ю. Е. СМИРНОВ

**СРЕДНЕКВАДРАТИЧНЫЕ МИКРОДЕФОРМАЦИИ
В ПИРОУГЛЕРОДЕ**

(Представлено академиком В. А. Каргиным 5 VIII 1969)

Механизм процесса графитирования углерода до настоящего времени остается недостаточно выясненным. Согласно гипотезе, впервые высказанной Франклин⁽¹⁾, весьма важную роль в этом процессе играют создающие полимерную структуру боковые связи между поликонденсированными слоями ароматического углерода соседних турбостратных пакетов слоев. Эта гипотеза косвенно подтверждается данными температурной зависимости скорости графитирования⁽²⁾, по которым тепллота активации процесса (90 ккал/гр·ат) близка к величине энергии разрыва углеродной цепочки с двойными сопряженными связями. В качестве причины обра-

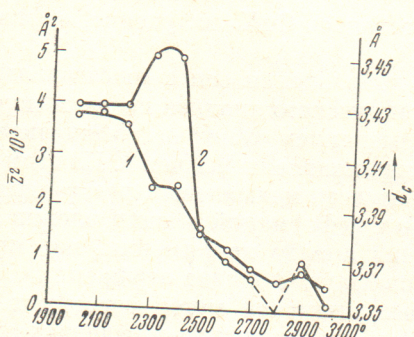


Рис. 1. Зависимость межслойевого расстояния (1) и среднеквадратичных смещений атомов (2) от температуры обработки. Кривая 2 построена для $L_c = 150 \text{ Å}$

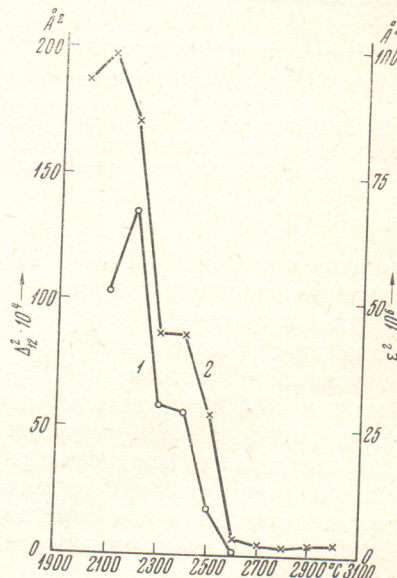


Рис. 2. Зависимость среднеквадратичных смещений в базисной плоскости от температуры обработки: 1 — по методу моментов; 2 — по формуле Руланда

зования неграфитирующегося углерода рассматриваются термически прочные боковые связи типа полиновых или кумуленовых углеродных цепочек, образующихся в жестких условиях дегидрирования⁽³⁾. В более поздних работах⁽⁴⁻⁷⁾ была высказана гипотеза, сводящая сущность процесса графитирования к удалению примесей в углеродных слоях. При этом рассматривается наличие в пакетах трех типов последовательно преобразующихся слоев $C_1 \rightarrow C_2 \rightarrow C_3$. Слои C_1 имеют структуру, периодичность которой нарушена микроискажениями из-за примесей (неупорядоченные атомы углерода или водорода). Преобразованные в процессе графитирования и очищенные от примесей слои C_3 способны переходить в графитовую структуру.

Недавно (8) была предложена новая интерпретация рентгеновских данных, устанавливающая закономерную связь между средним межслоевым расстоянием и микроискажениями углеродных слоев, которая трактуется с помощью трансляционных отклонений атомов от положения равновесия в направлениях, перпендикулярном к слою и вдоль слоя.

Однако до настоящего времени нет непосредственных экспериментальных данных по определению среднеквадратичных смещений атомов в углеродном слое. Целью настоящего исследования является измерение среднеквадратичных микродеформаций в обоих главных кристаллографических направлениях и установление их зависимости от температуры обработки как новой характеристики углеродного материала.

Для исследования был выбран пироуглерод, осажденный при температуре 2000°С и обработанный в диапазоне температур 2000—3000° в атмосфере аргона. Измерения производились на рентгеновском дифрактометре УРС-50ИМ, спаренном со счетно-регистрирующим устройством ССС и сцинтилляционным счетчиком СРС-1-0. Использовалось $\text{CuK}\alpha$ -излучение, отфильтрованное никелевым фильтром.

Среднеквадратичные деформации в направлении оси с гексагональной решеткой определялись с помощью гармонического анализа по двум порядкам отражения от плоскости (002) с применением электронновычислительной машины М-20. Результаты расчета представлены на рис. 1. На этом же рисунке приведена температурная зависимость межслоевого расстояния.

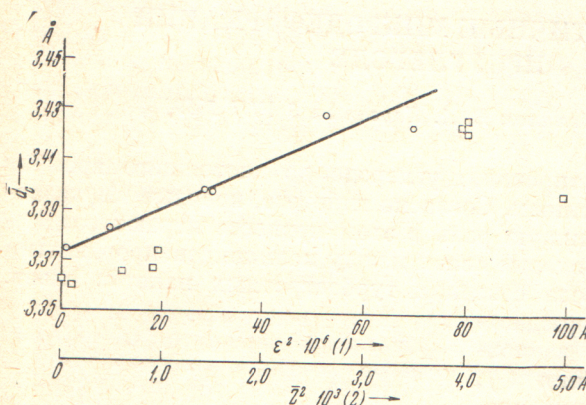
Рис. 3. Зависимость межслоевого расстояния от среднеквадратичных смещений в базисной плоскости и в перпендикулярном к ней направлении

Для определения среднеквадратичных деформаций в направлении оси с гексагональной решетки гармонический анализ неприменим, ибо практически невозможно точно зарегистрировать два порядка отражения от соответствующих плоскостей. Поэтому был применен метод четвертых моментов, предложенный в работах (9, 10) и позволяющий определить среднеквадратичные деформации по одной дифракционной линии (двумерная полоса (11), переходящая в трехмерную линию (110)). Результаты расчетов приведены на рис. 2.

Сравнение данных рис. 1 и рис. 2 показывает, что микродеформации в слоевых плоскостях ε^2 , по крайней мере, на порядок меньше микродеформации z^2 в перпендикулярном направлении; значения ε^2 того же порядка величины, что и для некоторых металлов (10). Различие значений микродеформаций в двух главных направлениях гексагональной сингонии соответствует различному характеру межатомных сил: внутри слоя действуют сильные ковалентные связи, между слоями — значительно ослабленные связи, характер которых еще полностью не выяснен.

Как z^2 так и ε^2 довольно резко уменьшаются с температурой обработки. Однако уменьшение происходит немонотонным образом. Не совпадают и температуры начала быстрого уменьшения значений микродеформаций (2400° для z^2 и 2200° для ε^2).

Руланд (8) приводит формулу, позволяющую определять среднеквадратичные деформации Δ_{12}^2 на основании иных экспериментальных характе-



ристик:

$$\Delta_{12}^2 = \frac{1}{2\pi^2 s_{(110)}^2} \ln \frac{1}{1-p},$$

где $s = 2 \sin \vartheta / \lambda$, ϑ — угол Брэгга для отражения (110); λ — длина волны используемого излучения; p — степень неупорядоченности по Франклун (11).

Рассчитанные по этой формуле среднеквадратичные деформации для различных температур обработки представлены на рис. 2, 2. Два способа расчета, по методу четвертых моментов и по формуле Руланда, приводят к почти идентичным температурным зависимостям микродеформаций. Однако абсолютные значения смещений не совпадают.

На рис. 3 представлена зависимость межслоевого расстояния \bar{d}_c от среднеквадратичных деформаций $\bar{\varepsilon}^2$. Эта зависимость линейна, в то время как $d_c = f(z^2)$ не обнаруживает простой зависимости. Как отмечает Руланд (8), линейный вид зависимости $\bar{d}_c = f(\bar{\varepsilon}^2)$ является довольно неожиданным результатом, ибо не существует какой-либо очевидной причины для того, чтобы среднеквадратичное смещение параллельно плоскости слоев было пропорционально среднему межслоевому расстоянию. Однако область справедливости линейного соотношения и малость разброса значений указывают, что это соотношение не случайно.

Таким образом, экспериментально измерены величины микродеформаций в слое и перпендикулярно ему, определены температурные зависимости этих характеристик. Полученные данные являются новой количественной характеристикой дефектности структуры пироуглерода и ее изменений в процессе графитирования.

Поступило
30 VII 1969

ЦИТИРОВАННАЯ ЛИТЕРАТУРА

- ¹ R. Franklin, Proc. Roy. Soc., London, **209A**, 196 (1951). ² В. И. Касаточкин, А. Т. Каверов, ДАН, **117**, № 5 (1957). ³ В. И. Касаточкин, Г. Б. Финкельштейн, Сборн. Химическая переработка топлив, сер. хим. и технол., «Наука», 1965, стр. 264. ⁴ J. Maire, J. Mering, Industrial Carbon and Graphite Society of Chemical Industry, London, 1958, p. 204. ⁵ J. Mering, J. Maire, J. Chem. Phys., **57**, 803 (1960). ⁶ M. Oberlin, J. Mering, C. R., **253**, № 22, 2549 (1961). ⁷ M. Oberlin, J. Mering, C. R., **253**, № 23, 2780 (1961). ⁸ W. Ruland, Acta crystallogr., **18**, № 6, 992 (1965). ⁹ А. С. Каган, В. М. Сновидов, Физ. мет. и металловед., № 19, 191 (1965). ¹⁰ В. М. Сновидов, А. С. Каган, А. Е. Ковалевский, Зав. лаб. 34, № 9, 1086 (1968). ¹¹ R. E. Franklin, Acta crystallogr., **4**, 253 (1951).